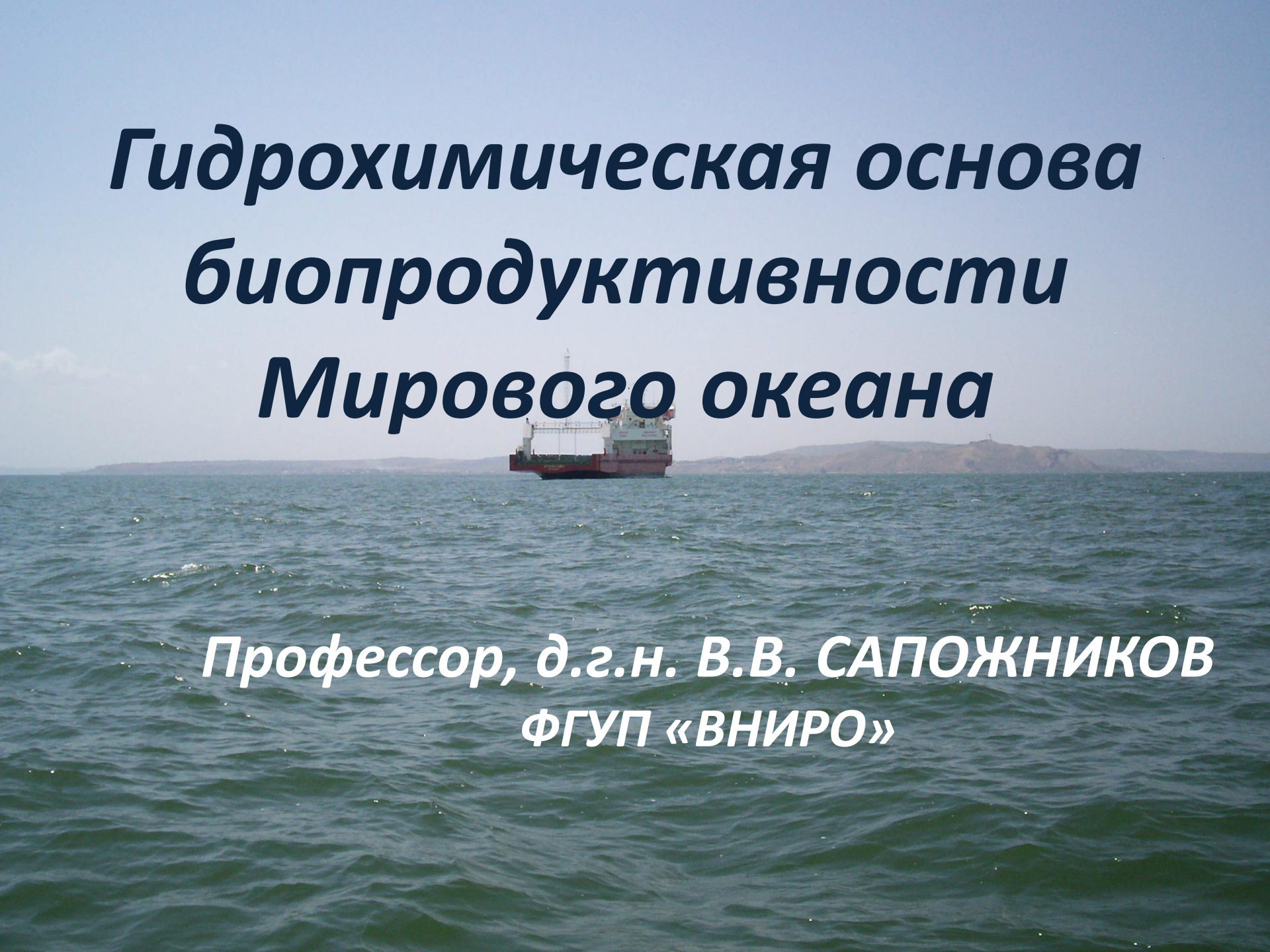
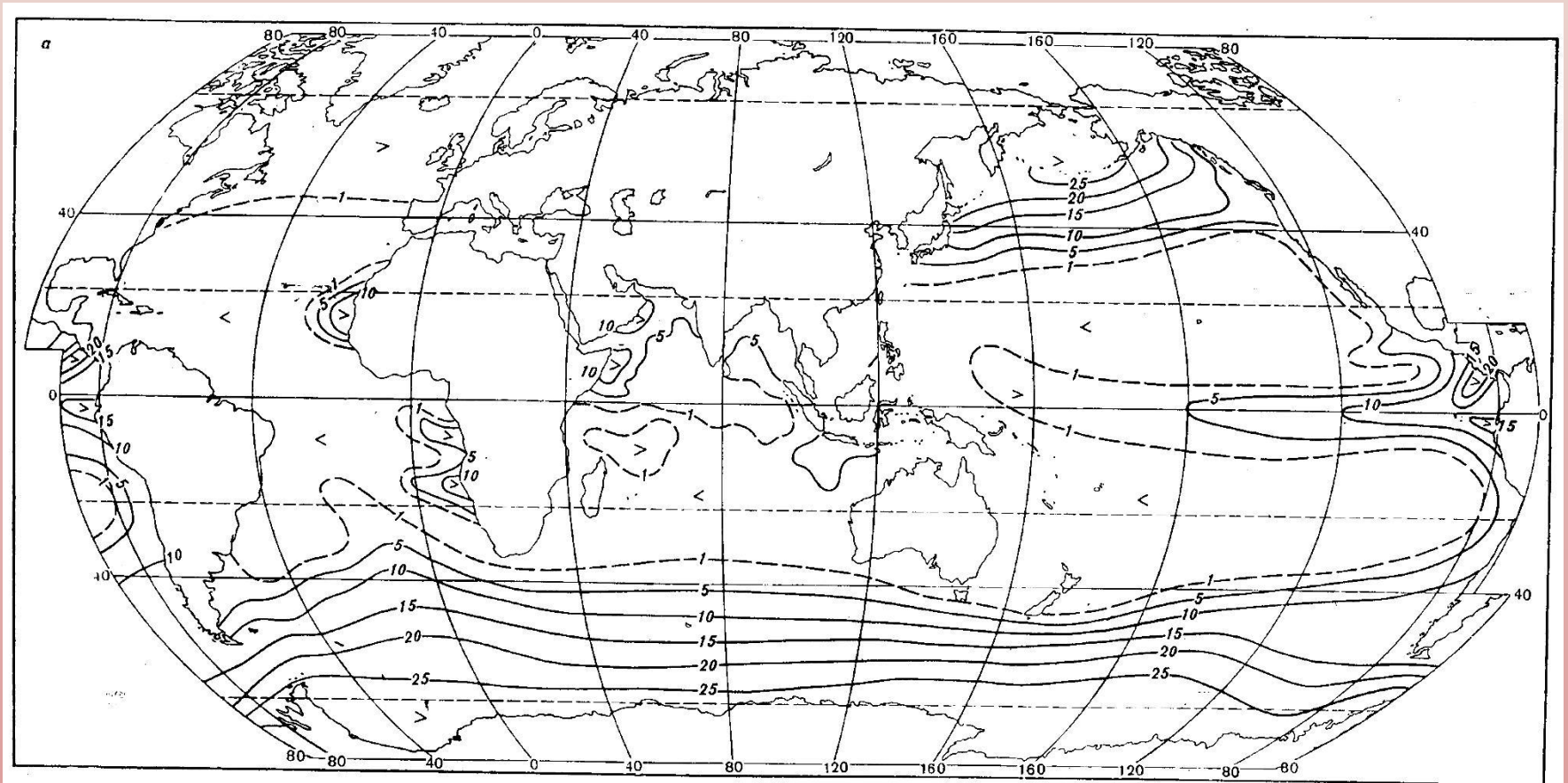


***Гидрохимическая основа
биопродуктивности
Мирового океана***

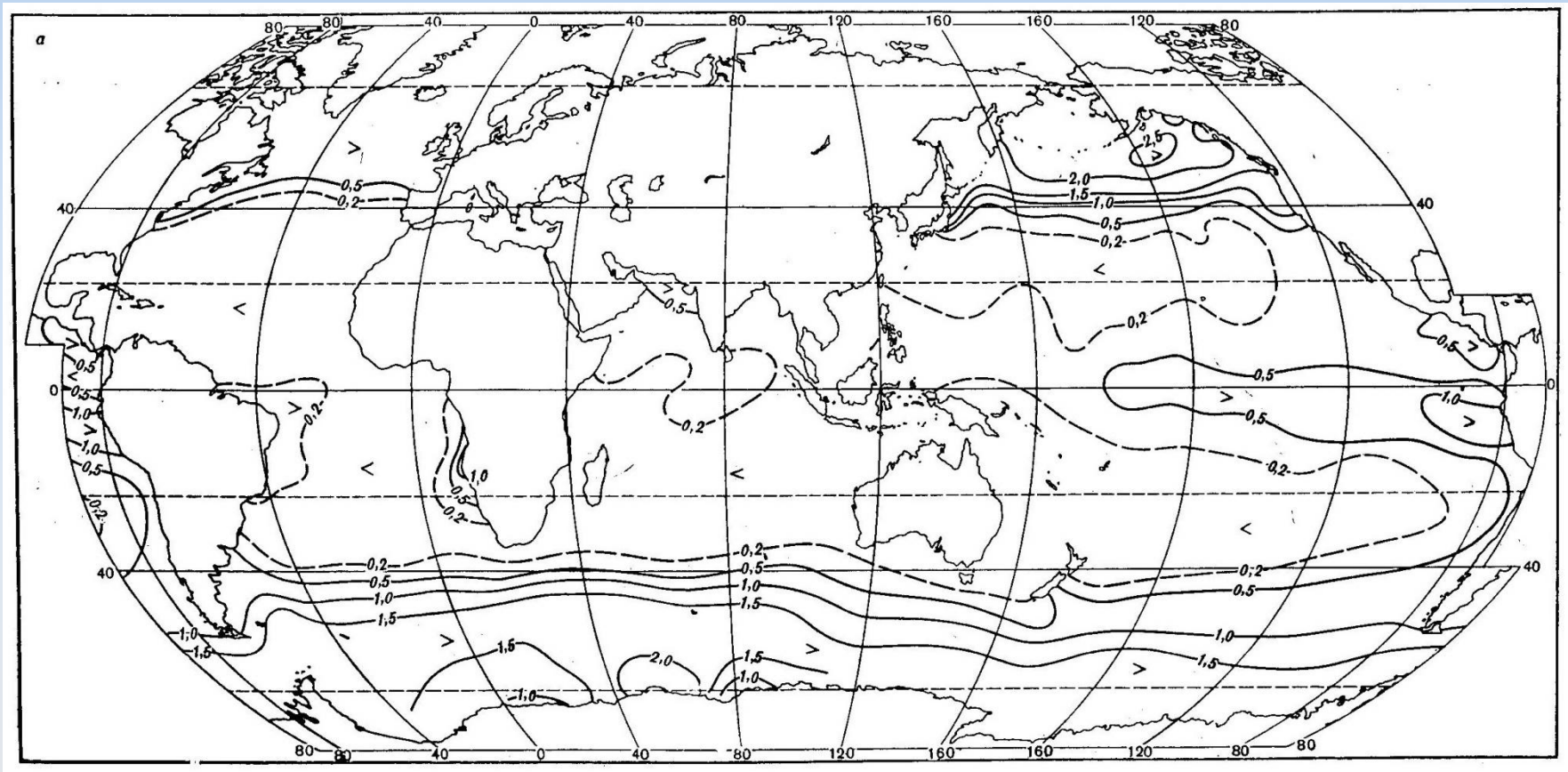
A research vessel with a white superstructure and a red hull is sailing on a vast, choppy blue-green sea. The horizon is visible in the distance under a clear, light blue sky. The vessel is positioned centrally in the background, behind the main title text.

***Профессор, д.г.н. В.В. САПОЖНИКОВ
ФГУП «ВНИРО»***

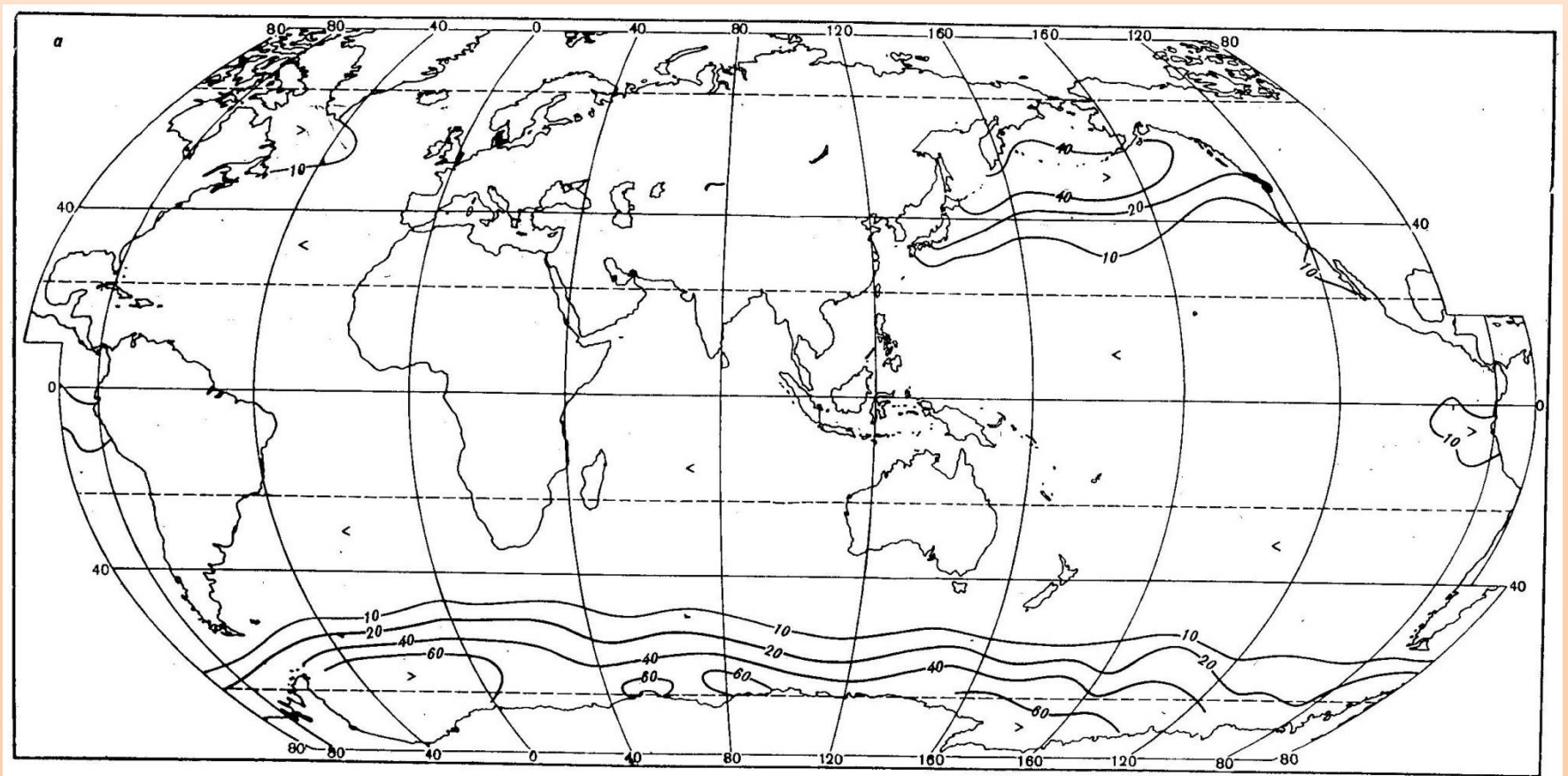
Распределение нитратов (мкг-ат/л) на поверхности океана



Распределение фосфатов (мкг-ат/л) на поверхности океана

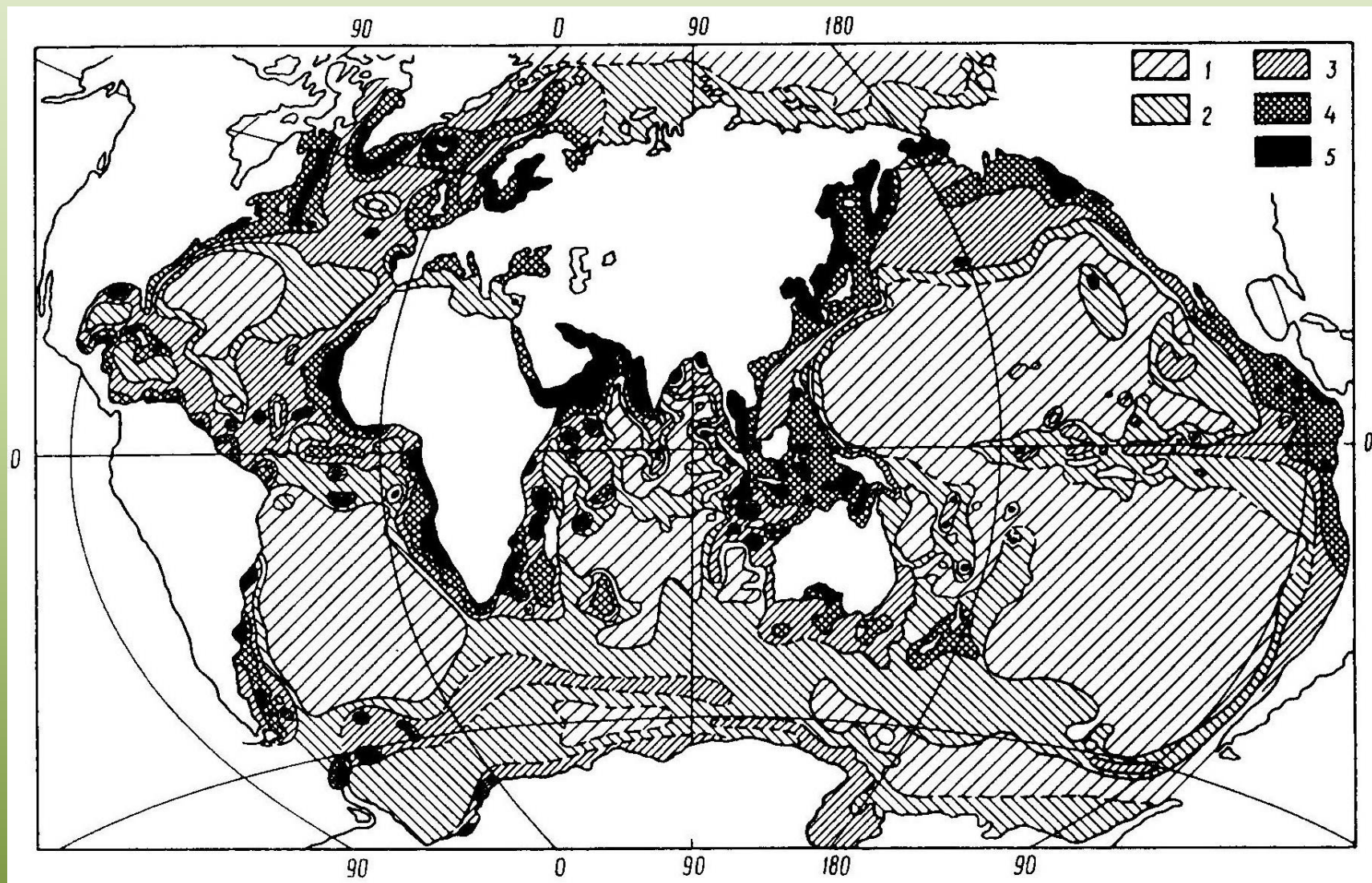


Распределение растворенной кремнекислоты (мкг-ат/л) на поверхности океана

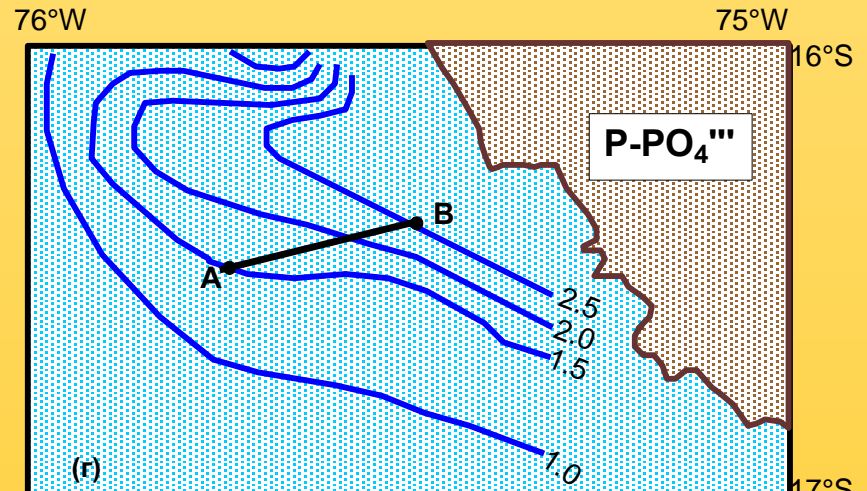
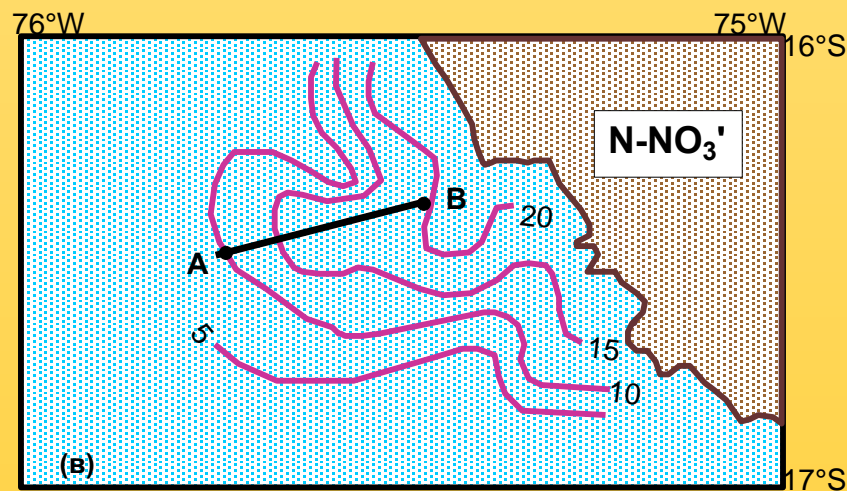
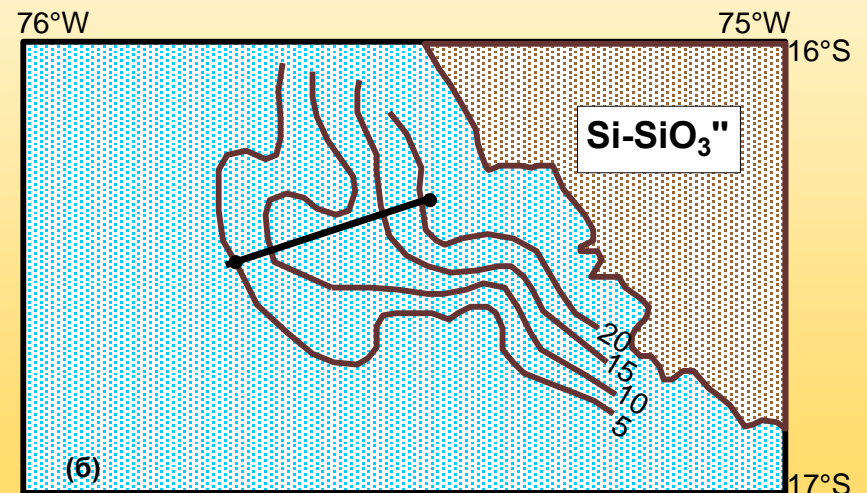
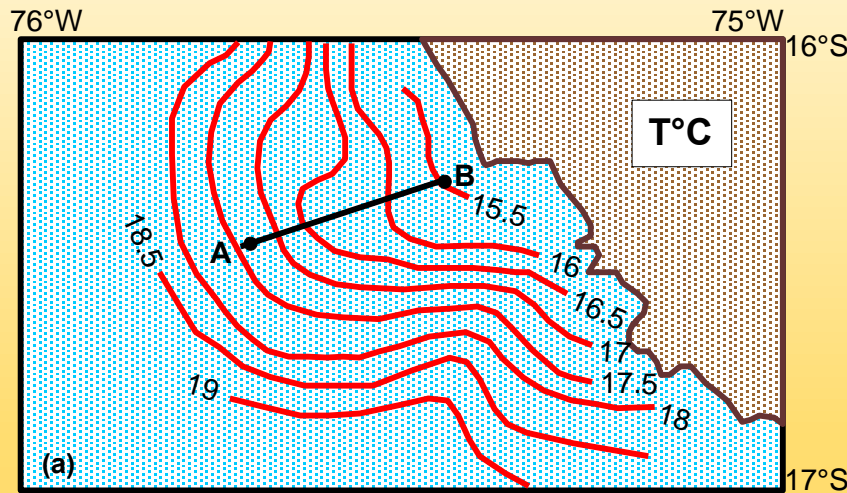


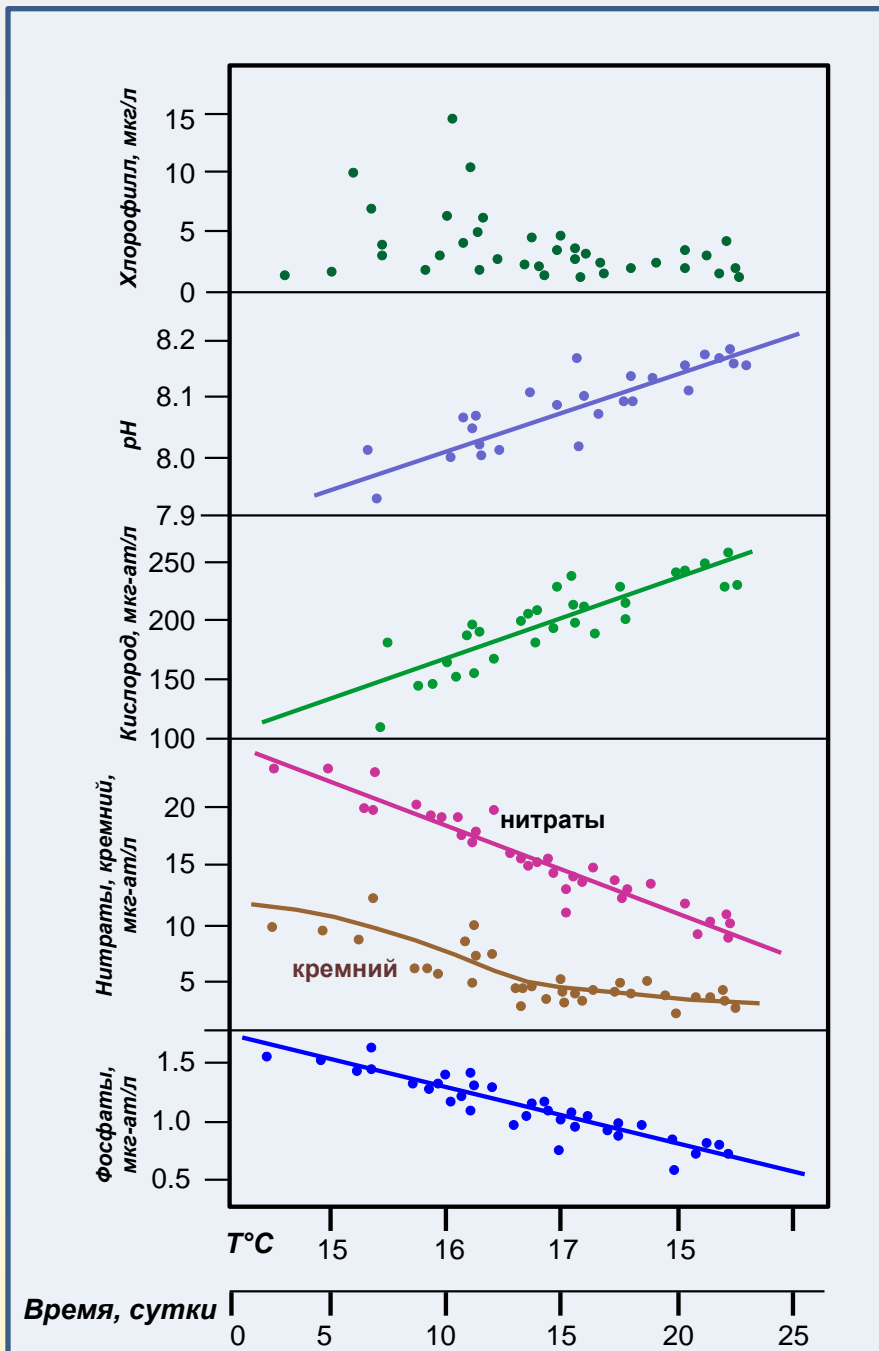
Распределение годовой первичной продукции (мг С/м² в день)

1 – 100; 2 -100-150; 3 – 150-250; 4 -250-500; 5 - >500

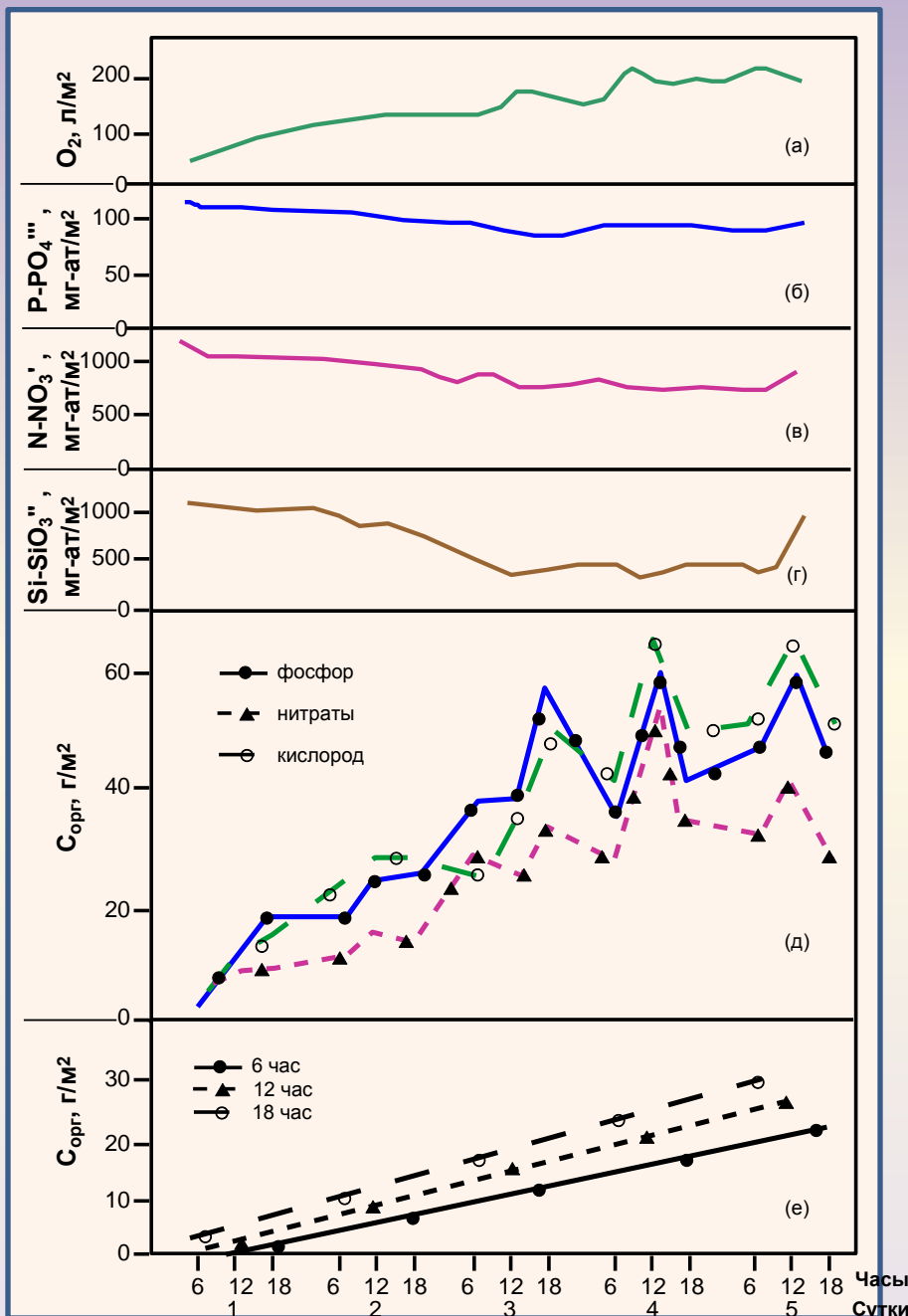


Распределение температуры, нитратов, кремния и фосфора (мкг-ат/л) в зоне Перуанского апвеллинга

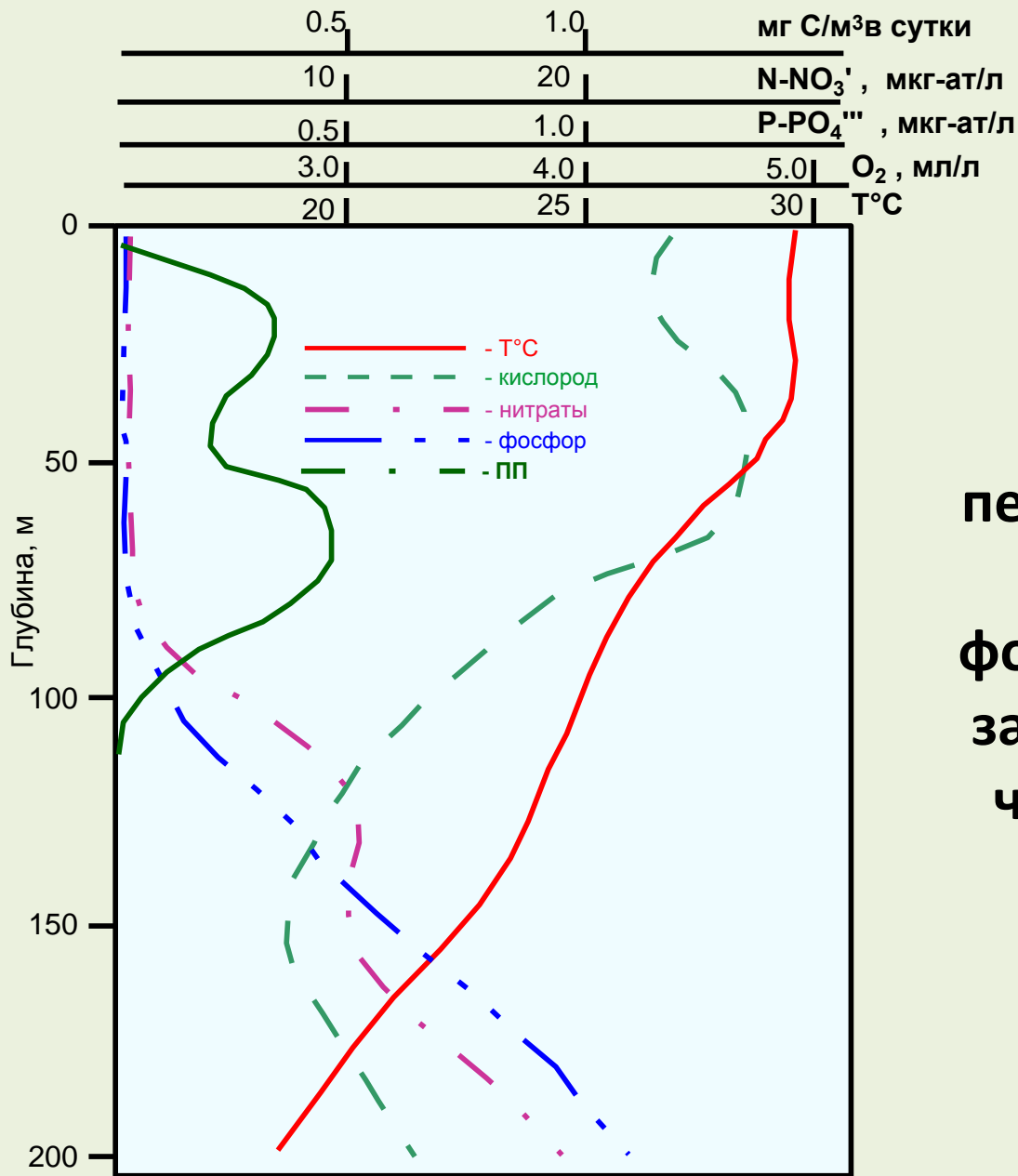




**Изменение
концентрации
хлорофилла, рН,
кислорода, нитратов,
кремния и фосфатов
по мере прогрева
поверхностного слоя в
зоне апвеллинга у
берегов северо-
западной Африки
(Weichart, 1980)**



**Изменение запаса
биогенных
элементов в слое 0-50 м
и запаса Сорг,
рассчитанного по
гидрохимическим
параметрам и по данным
прямых измерений
(Ryther et al., 1971)**



Вертикальное распределение температуры, первичной продукции (ПП), кислорода, фосфатов и нитратов в западно-тропической части Тихого океана

Результаты расчета первичной продукции по выносу фосфора и азота в поверхностный слой

Вертикальная скорость, см/с	Содержание на расчетном горизонте, мкг-ат/л		Максимальная возможная продукция, мгС/(м ² сут)	Фактическая продукция, мг С/(м ² сут)
	фосфатов	нитратов		
Станция 6033 (глубина 75 м)				
$1.4 \cdot 10^{-3}$	0.29	—	446	75
$1.4 \cdot 10^{-3}$	—	4.0	386	—
$1.4 \cdot 10^{-3}$	0.26	—	398*	—
Станция 6052 (глубина 75 м)				
$3.6 \cdot 10^{-3}$	0.15	—	593	120
Станция 6052 (глубина 800 м)				
$2.4 \cdot 10^{-3}$	—	3.0	495	104
$2.4 \cdot 10^{-3}$	—	3.1	512*	—
$2.4 \cdot 10^{-3}$	—	2.94	493*	—
Станция 6064 (глубина 125 м)				
$1.2 \cdot 10^{-3}$	0.38	—	503*	175
$1.2 \cdot 10^{-3}$	—	8.1	667*	224

*В расчетах использовали среднесуточные концентрации азота и фосфора по данным суточной станции.

СЛУЖБЫ РАЙОНА

В расчетах использовались среднесуточные концентрации азота и фосфора по данным

мкг-ат/л

1

2

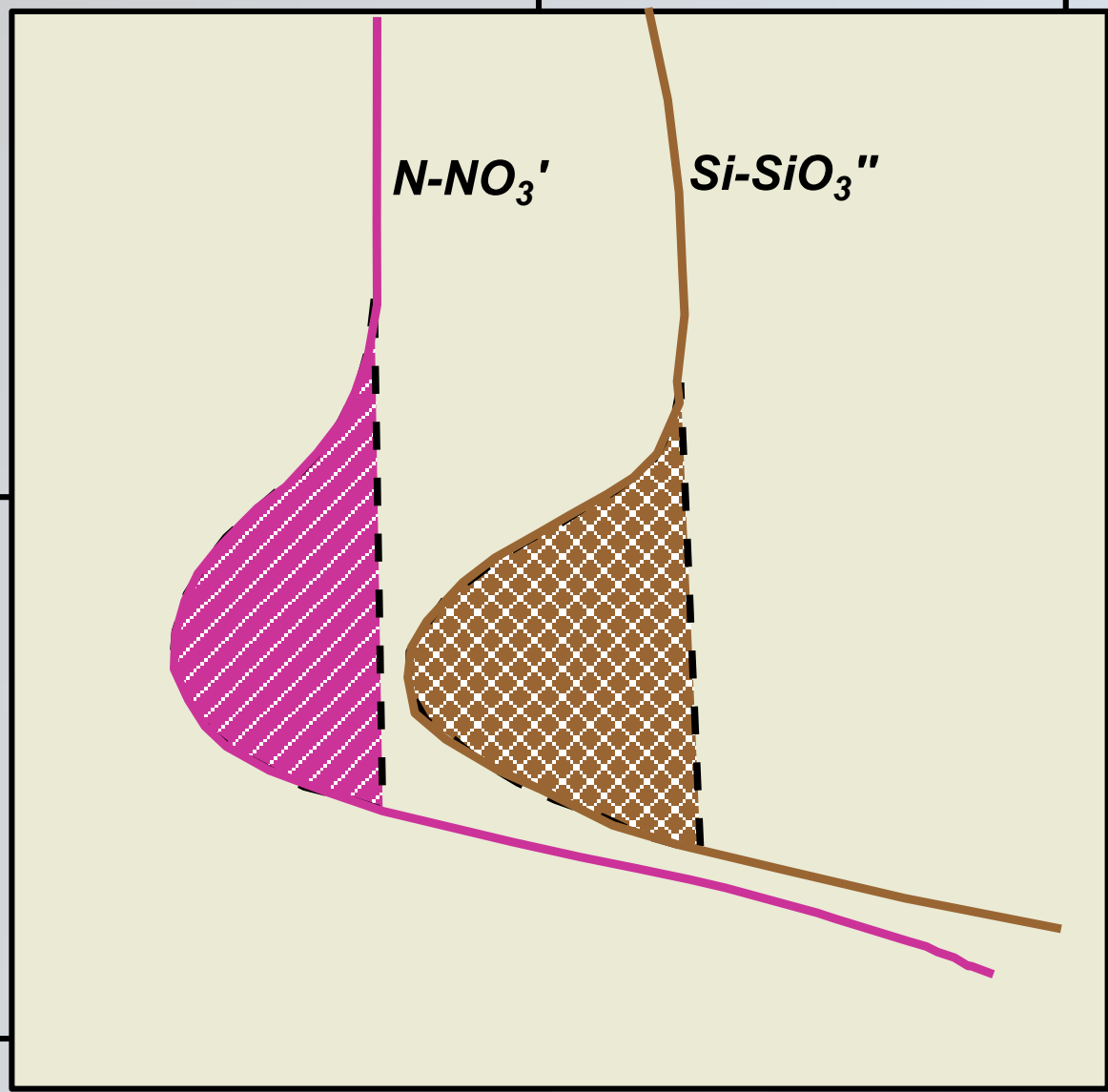
N-NO₃'

Si-SiO₃''

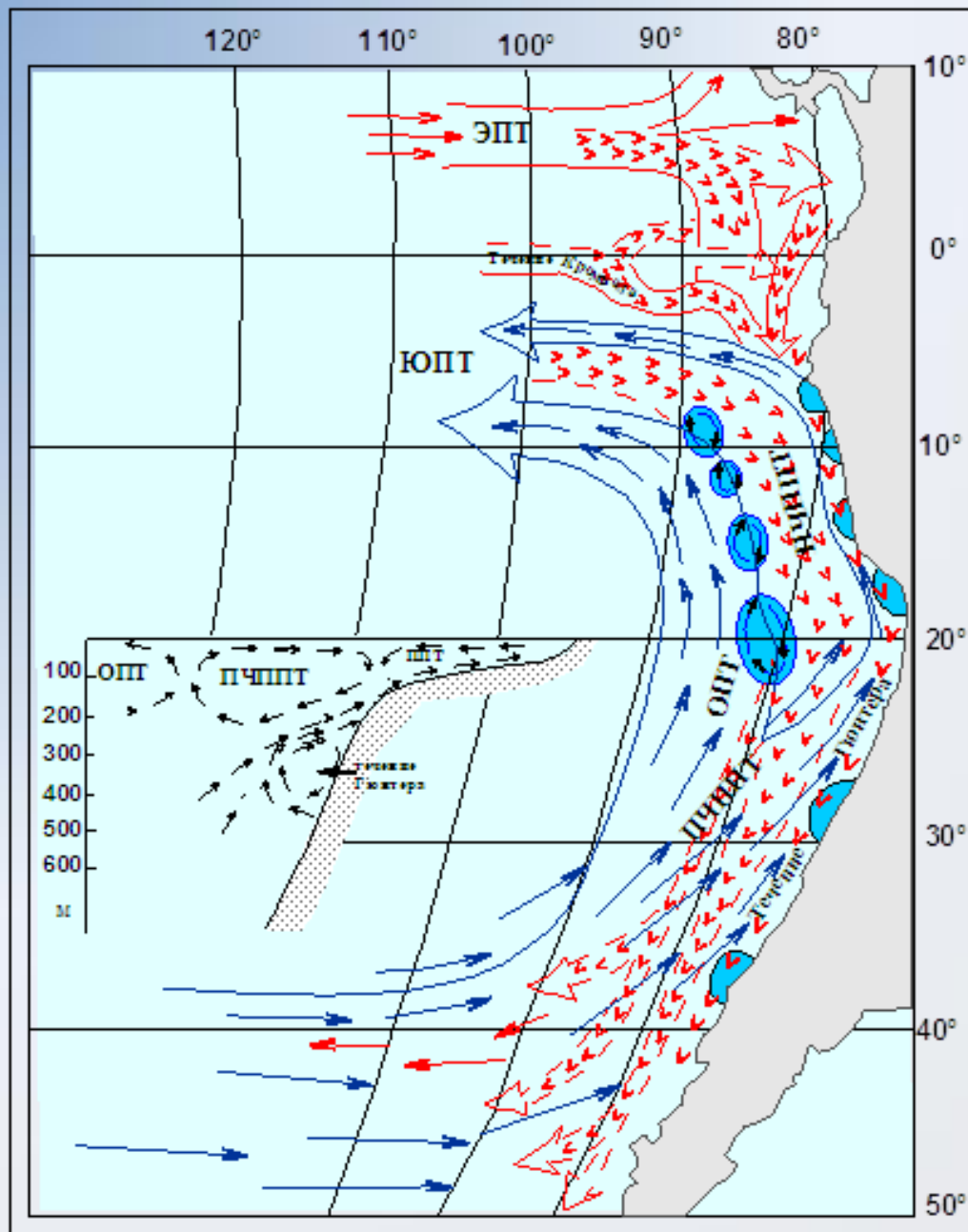
Глубина, м

50

100



**Изменение
вертикального
распределения
нитратов и
кремния после
«заброса»
биогенных
элементов
(заштрихованные
области) во время
синоптического
вихря**



**Схема
поверхностных и
подповерхностных
течений юго-
восточной части
Тихого океана**

A dramatic seascape at sunset or sunrise. The sky is filled with large, dark clouds, with a bright light source (the sun) breaking through near the horizon, creating a golden glow and long shadows. The sea is dark, with white foam from waves crashing onto a rocky shore in the foreground. A small ship is visible on the horizon to the right.

**СПАСИБО
ЗА ВНИМАНИЕ**